

# 実験トランジスタ・アンプ設計講座

黒田 徹

## ●実用技術編

### 第10章 回路シミュレータ SPICE 入門 (31)

#### クロスシャント PP の欠点

今回はクロスシャント PP アンプをシミュレーションしました。クロスシャント PP 回路はエレガントですが、AB 級で働かせると、大出力時にノッチングひずみを生じるという欠点があります。

たとえば、第1図のアンプに 1 kHz/2.3 V (片ピーク振幅) のサイン

波を入力した直後の出力波形はきれいなサイン波 (第2図参照) ですが、1 秒経過すると、出力波形にノッチングひずみ (第3図) が現われます。

#### (1) ノッチングひずみの原因

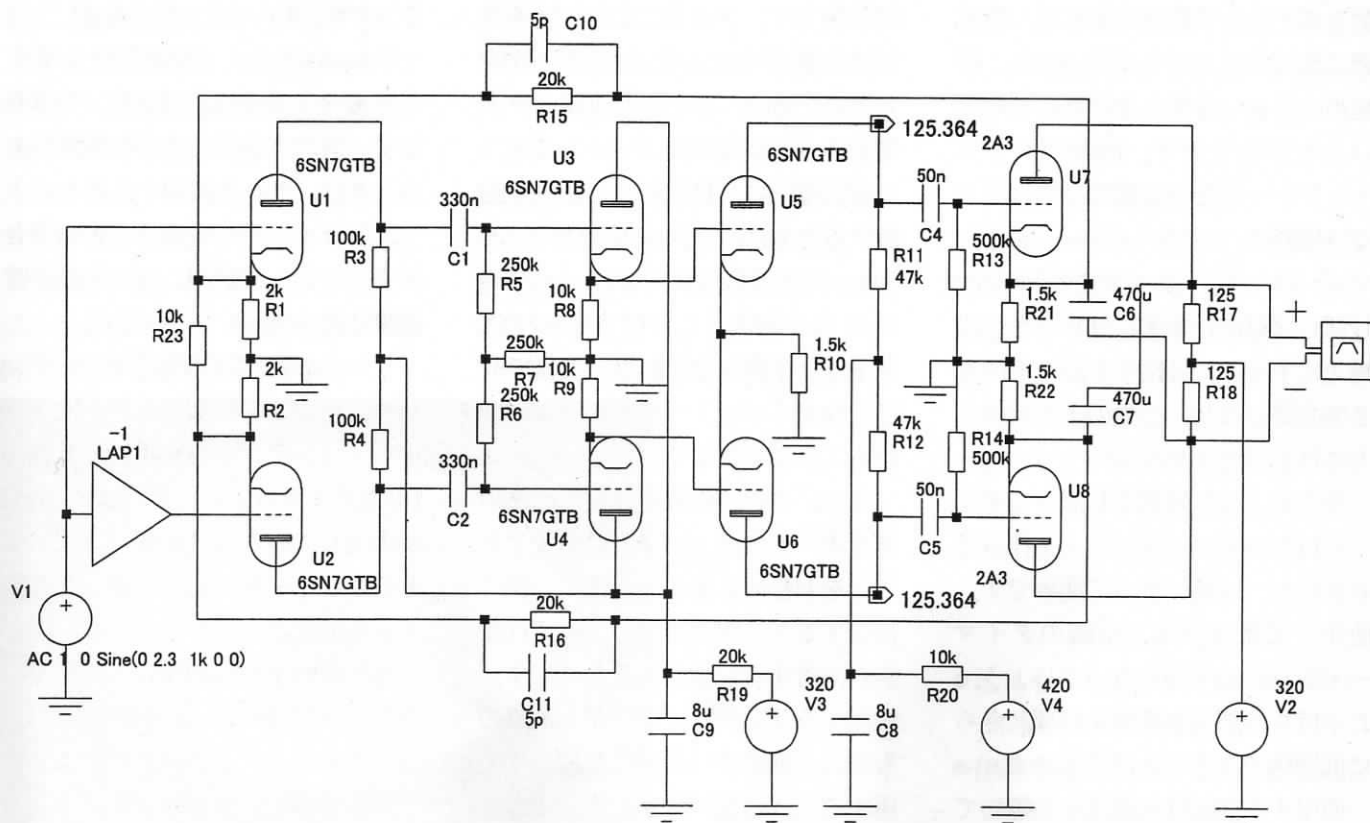
これは、大出力状態が続くと出力管のカソード・バイアス電圧が増加するためです。なお、第1図の 2A3 は直熱管なのでカソードはありませんが、実際には傍熱管 6A3 B、ある

いは 6A3 を想定しています。

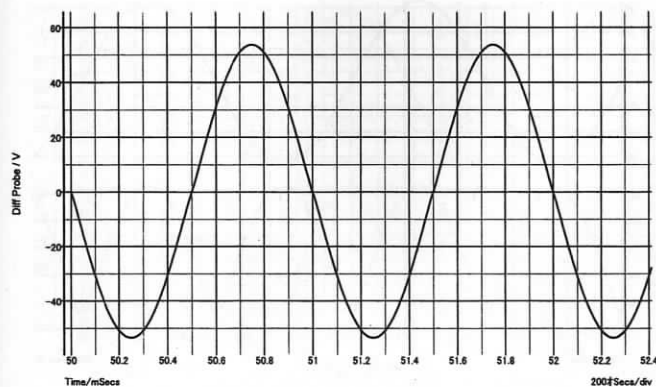
具体的にいいますと、入力信号がゼロのとき、出力管のプレート電圧は 315.35 V、カソード電圧は 52.35 V です (第1図参照)。すなわち、 $C_6$  と  $C_7$  の各両端 DC 電圧は 263 V です。

ところが、1 kHz/2.3 V のサイン波が印加されると、時間の経過とともに  $C_6$  および  $C_7$  の各両端 DC 電圧が第4図のように減少します。

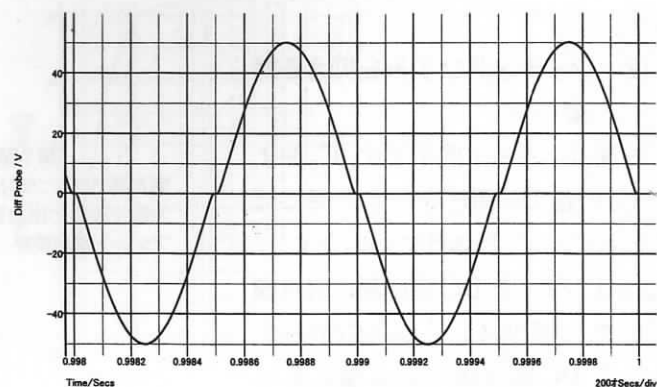
1 秒経過後の DC 電圧は 227 V になります。 $C_6$  と  $C_7$  の各両端 DC 電



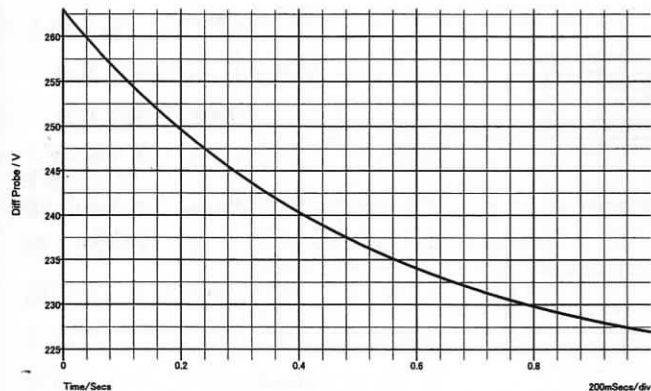
〈第1図〉 島田聡氏によるクロスシャント PP OTL アンプ (本誌 1952 年 11 月号発表、前号 第 17 図)



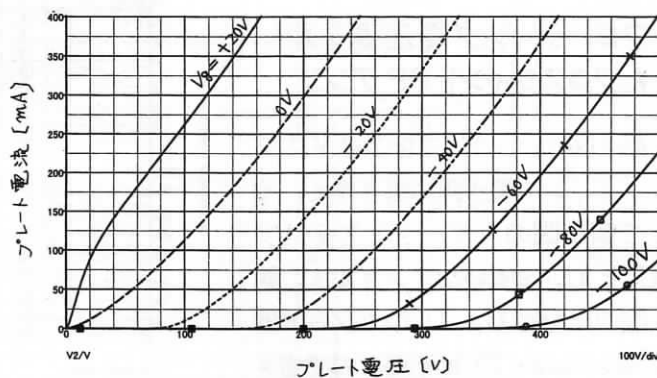
〈第2図〉 1 kHz/2.3 V 入力, 50 mS 後の出力波形



〈第3図〉 1秒後の出力波形。ノッチングひずみがある



〈第4図〉  $C_6$  470  $\mu$ F 両端の電圧 (P-K 間電圧)



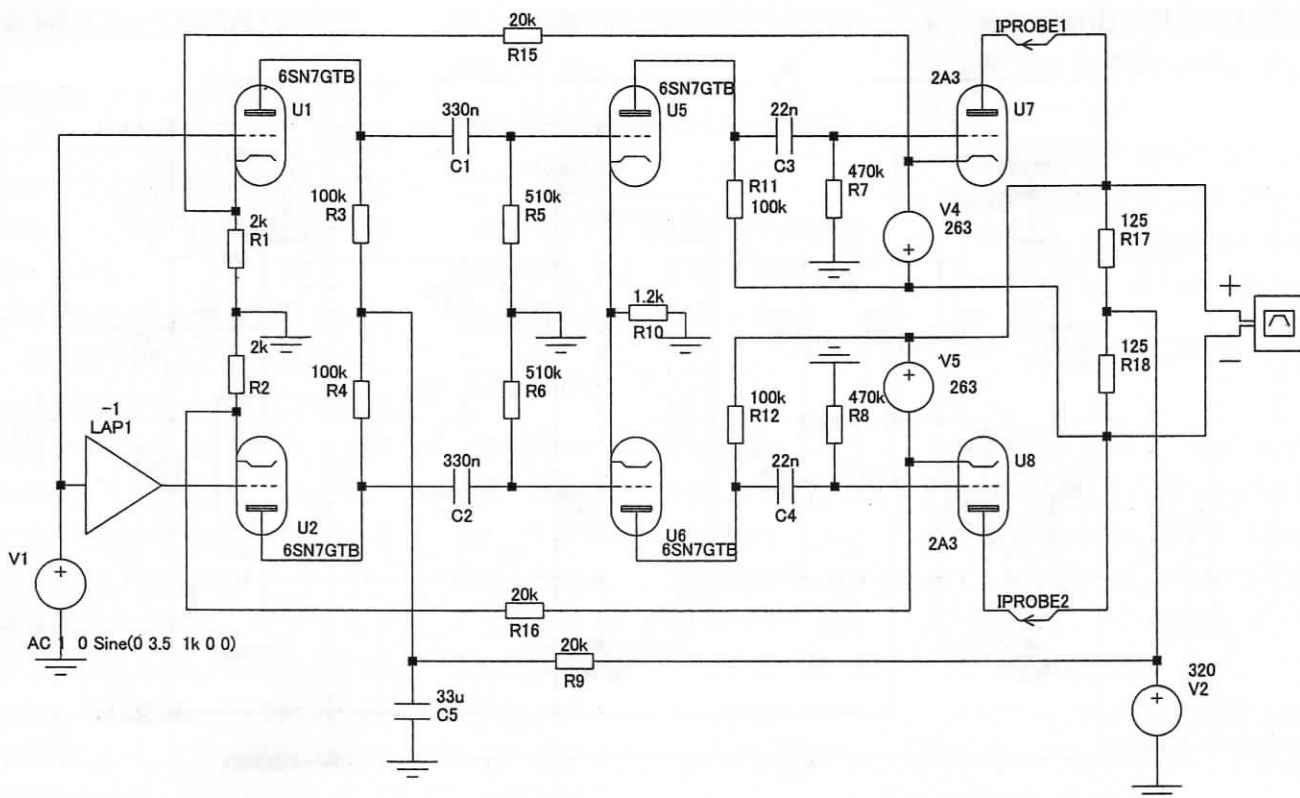
〈第5図〉 2A3 の  $E_b$ - $I_b$  特性 (Koren 氏のモデル)

圧が減少するのは, AB 級動作によって大出力時に  $C_6$  と  $C_7$  に流れる交流電流 (プレート電流の交流変化分) が正負非対称になり,  $C_6$  および  $C_7$  の信号サイクルおける放電電流の積

分値が充電電流の積分値より大きくなるからです。

したがって, 1 秒経過後の出力管 DC カソード電圧は [315.35 V - 227 V] すなわち 88.35 V となり,

必然的にグリッド・バイアス電圧が -88.35 V になります。第5図から明かなように, このような深いバイアス電圧では C 級動作になってしまい, ノッチングひずみを生じ



〈第6図〉 クロスシャント・コンデンサを 263 V のフローティング電圧源に置き換えたアンプ

ます。

## (2) ノッチングひずみを抑える対策

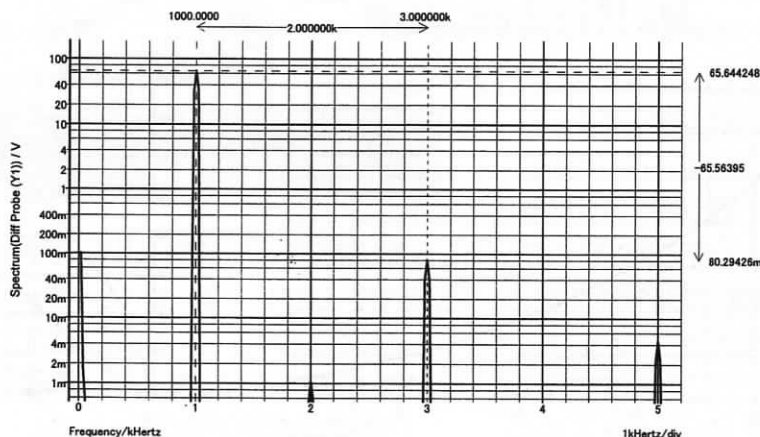
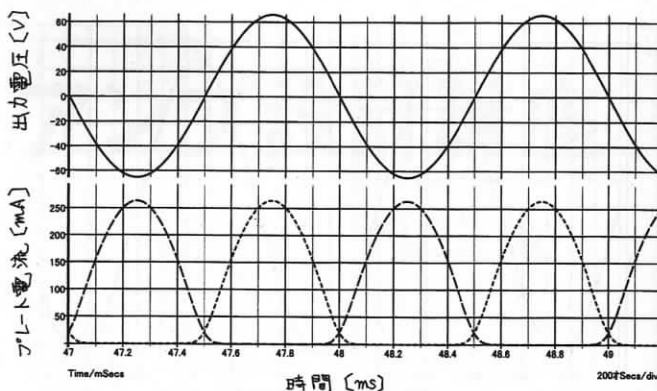
対策はいたって簡単です。C<sub>6</sub>およびC<sub>7</sub>の各DC電圧を一定に保てばよいわけです。具体的にいいますと、C<sub>6</sub>およびC<sub>7</sub>をDC電圧源に置き換えます。つまり、C<sub>6</sub>とC<sub>7</sub>をフローティングDC電圧源に置き換えれば万事OKです。

## フローティング電圧源を用いたクロスシャントPPアンプ

第6図は、C<sub>6</sub>とC<sub>7</sub>を263Vのフローティング電圧源に置き換え、そして第1図のカソード・フォロ(U<sub>3</sub>とU<sub>4</sub>)を省いたアンプです。第1図の出力管U<sub>7</sub>、U<sub>8</sub>のカソード抵抗(1.5kΩ×2)は不要なので省きました。

励振管U<sub>5</sub>のB電圧はフローティング電源V<sub>4</sub>のプラス端子から供給しています。したがって、R<sub>11</sub>は実質的に出力管U<sub>7</sub>のカソードからブート・ストラップされます。同様に、励振管U<sub>6</sub>のB電圧はフローティ

〈第7図〉  
第6図のアンプの出力電圧波形と出力管プレート電流波形



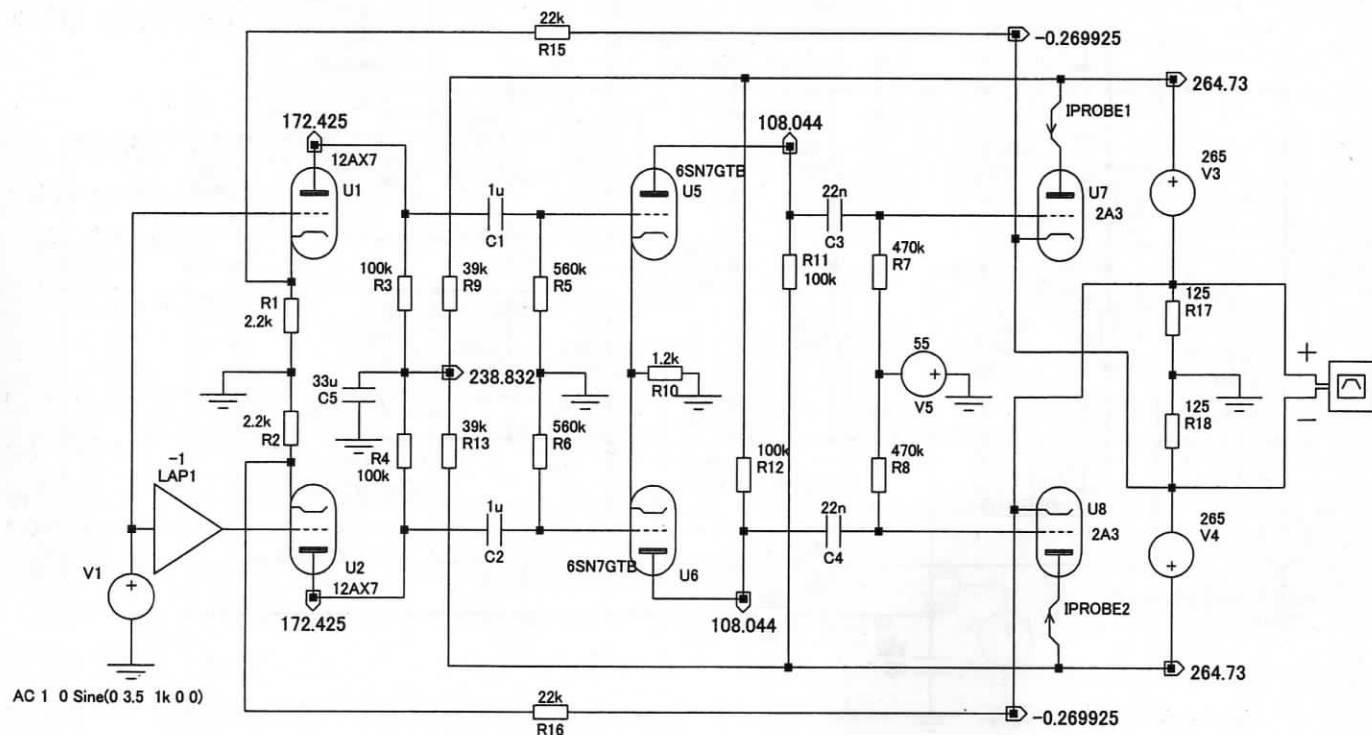
〈第8図〉  
第6図のアンプの出力波形のフーリエ解析結果

ング電源V<sub>5</sub>のプラス端子から供給しています。

ブート・ストラップによって、励振管は低いB電圧で出力管を十分にドライブできます。この手法はマッキントッシュ・アンプにも使われています(2005年5月号参照)。

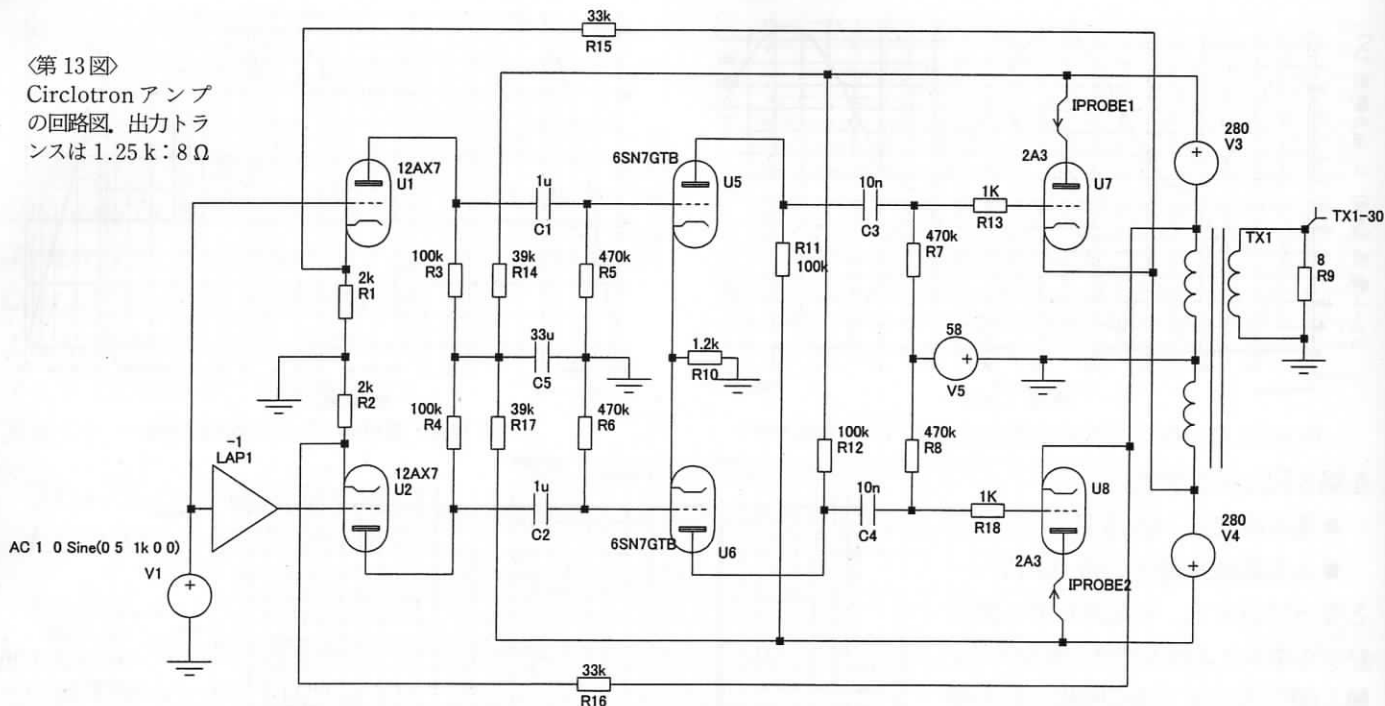
第6図のアンプに1kHz/3.5V(片ピーク振幅)のサイン波を入力したときの出力波形と出力管のプレート電流波形を第7図に示します。B級に近いAB級動作ですが、ノッチングひずみはありません。

出力電圧波形のフーリエ解析結果



〈第9図〉 負荷をカソードに接続した OTL アンプ

〈第 13 図〉  
Circlotron アンプ  
の回路図。出力トラ  
ンスは 1.25 k : 8 Ω



### (3) Circlotron 回路の動作

じつは第 13 図のアンプはエレクトロボイス社の Circlotron 回路<sup>(1)</sup> (第 19 図) と呼ばれるものです。これは第 9 図のアンプの負荷抵抗 ( $R_{17} + R_{18}$ ) を中点タップつき出力トランスに置き換えたものです。

ここで、第 9 図の出力段はクロスシャント PP のキャパシタ ( $C_6$  と  $C_7$ ) をフローティング電圧源に置き換えたものです。したがって Circlotron 回路の交流動作はクロスシャント PP と同等です。

### (4) Circlotron 回路の特長

Circlotron 回路の特長はクロスシャント PP の特長と同じです。すなわち、

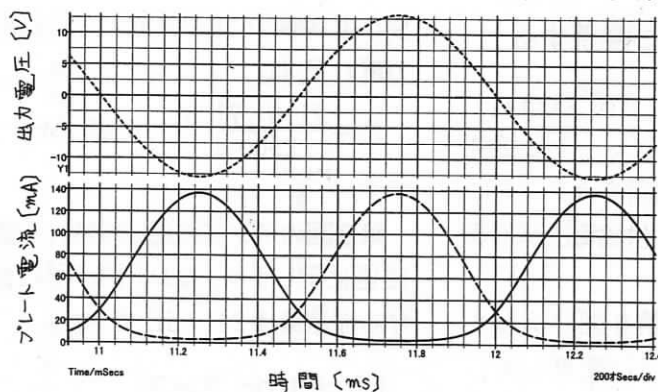
- 負荷インピーダンスは標準 PP の 1/4

- スwitching・トランジェントひずみがない
- 出力電圧の 50% が各出力管のカソードに電圧帰還されるので、出力インピーダンスが低く、かつ低ひずみ率
- 励振管のプレート負荷抵抗を出力管のカソードからブート・ストラップできる

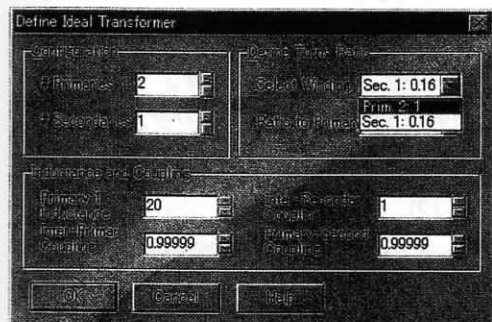
- 出力管は 5 極管でも 3 極管でも OK などの特長があります。

### (5) Circlotron 回路の歴史<sup>(2)</sup>

Circlotron 回路は、Electro-Voice 社の Alpha. M. Wiggins 氏が 1954 年 3 月 1 日に特許出願した回路です (U. S. Patent 2,828,369 第 20 図参照<sup>(3)</sup>)。第 20 図と前号第 1 図



〈第 15 図〉  
第 13 図のアンプの  
出力電圧波形と出力管  
プレート電流波形



〈第 14 図〉出力トランスの設定

〈第 16 図〉  
出力電圧のフーリエ解析結果

